

負荷抵抗が有限なるツーロン移相回路

関 山 正 憲

Phase-shifting Circuit by Toulon with a Limited Load Impedance

Masatoshi SEKIYAMA

Abstract: — The theory of the phase-shifting circuit by Toulon is limited in the case of no load. If the load becomes a finite impedance, how the matters change in it? With this point, this paper deals.

Giving the most probable value to each of the circuit elements, and changing them slightly to and fro about them, I got the several curves by means of a computer, and compared with each other. After all, I set up the proper values of the circuit elements.

1. ま え が き

単相の交流電源よりそれと任意の位相差をもつ交流をつくり出すことは、サイリスタやトライアックの点弧角を制御する場合などに応用される重要な問題である。

本格的には扇風機のスーターのように電源の交流をコンデンサーと抵抗、または、インダクタンスと抵抗で位相分割し、それらを2組のコイルに入れて回転磁界をつくり、その中に置いた別のコイルに誘導される起電力を用いればよい。中のコイルの角度を変えることにより位相を変えることができる。

しかし、この方法は高価につくのでツーロンによる移相回路がよく用いられる。これは図1のようにコンデンサ C と可変抵抗 R のつなぎ目 M 点と、2つの相等しいインピーダンス Z のつなぎ目 N 点との間の電位差が、可変抵抗 R を変えることにより電源の位相より $0 \sim 180^\circ$ に亘って変えられるものである。しかし、この理論は MN 端子間に結ばれる負荷インピーダンスが無限大の場合に限られる。これが有限の場合にどうなるかを電子計算機を用いて調べたのが本論文である。

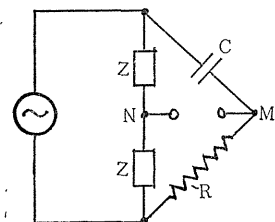


図 1

なお、負荷が有限なる場合として Sandeman 氏は、図2のように、負荷も電源の内部インピーダンスも上下の両直列抵抗もすべて等しい場合に移相が可能であることを導いている。しかし、これは電源と負荷のインピーダンスが相等しいという特殊な場合なので考えないこととする。

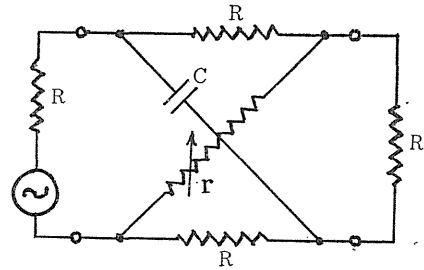


図 2

2. R と位相角の関係

図3は、電源電圧 V をコンデンサー C と可変抵抗 R および2ヶの相等しいインピーダンス Z にて分割し、それら分割点間に有限の負荷抵抗 P をつないだものである。

上の Z にながれる電流を I_1 、 C および P にながれる電流をそれぞれ I_2 、 I とすると、下の Z には $I_1 - I$ 、 R には、 $I_2 + I$ にながれる。すると

$$\left. \begin{aligned} V &= (2I_1 - I)Z \\ ZI_1 + PI &= I_2 / (j\omega C) \\ Z(I_1 - I) &= PI + R(I_2 + I) \end{aligned} \right\} \dots\dots(2.1)$$

が成立する。これより出した I に P/V を乗ずると

$$\frac{PI}{V} = \frac{P(1 - j\omega CR)}{Z + 2P + 2R + j\omega CR(Z + 2P)} \dots\dots(2.2)$$

これは電源電圧 V を基準としたときの出力電圧 PI のベクトルを示す。この絶対値を Y とすると出力電圧は YV で表わされる。しかるに

$$Y = P \sqrt{\frac{1 + \omega^2 C^2 R^2}{(Z + 2P + 2R)^2 + \omega^2 C^2 R^2 (Z + 2P)^2}} \dots\dots(2.3)$$

次に、電源電圧と出力電圧間の位相角 A をしらべるため、(2.2) を有利化すると

$$\frac{PI}{V} = \frac{Z + 2P + 2R - \omega^2 C^2 R^2 (Z + 2P) - j\omega CR (Z + 2P + R) \times 2}{[(Z + 2P + 2R)^2 + \omega^2 C^2 R^2 (Z + 2P)^2] / P}$$

この分子より位相角は

$$A = \tan^{-1} \frac{-\omega CR (Z + 2P + R) \times 2}{Z + 2P + 2R - \omega^2 C^2 R^2 (Z + 2P)} \dots\dots(2.4)$$

(2.3) および (2.4) を電子計算機にかけるため

$$\begin{aligned} f &= 50 \text{ Hz} \\ \omega &= 2\pi f = 314.159 \text{ rad/sec} \\ C &= 2 \mu\text{F} = 2 \times 10^{-6} \text{ F} \end{aligned}$$

としてプログラム (HARP 103) をつくと次のようになる。

```
DIMENSION P(5), Z(3), A(3), Y(3)
READ 1, P, Z
DÖ 20 N=1,5
```

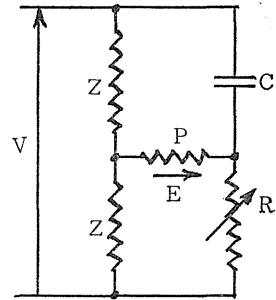


図 3

```

D0 20 I=1, 10
R=I
D0 19 M=1, 3
X= - 0.628318*R*2.*(Z(M)+R+2.*P(N))/(Z(M)+2.*R+2.*P(N)-
      (0.628318*R)**2*(Z(M)+2.*P(N)))
A(M)=ATANF(X)*180./3.14159
19 Y(M)=P(N)*SQRTF((1.+(0.628318*R)**2)/(Z(M)+2.*R+2.*P
      (N))**2+(0.628318*R*(Z(M)+2.*P(N)))**2))
20 PRINT 30, (A(M), Y(M), M=1, 3)
30 F0RMAT(3(F15.8, F15.8))
ST0P
END
    
```

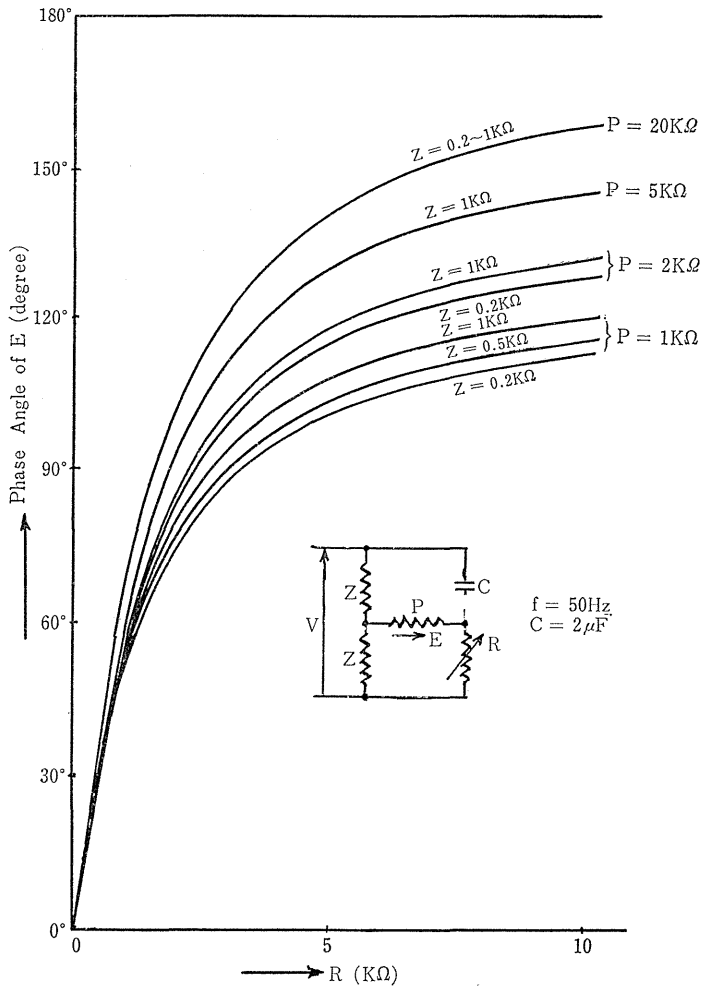


図 4

1. 2. 5. 10. 20. 0.2 0.5 1.0

以上のプログラムで算出されたデータは省略するが、次のことはいえる。すなわち、 R が変わるために生ずる Y の変化はせいぜい10%までである。しかるに、ゲートへの入力パルスの大きさは Y に比例するので、 R の変化による点弧の失敗をほとんどおこななくできる。

次に A につきプロットすると、図4に示すグラフとなる。これによれば、 R の変化が $0 \sim 5k\Omega$ の間に大きく変わり、 $5k\Omega$ 以上ではあまり変わらないことがわかる。

3. R と直流平均電流

弧点角の大小は出力の直流平均電流にどのような影響があるかを考える。

図5のように半波整流のとき、点弧角を A 、電気角を x とすると図6のハッチングを施した部分のように導通する。したがって

$$\text{直流平均電流} = \frac{1}{2\pi} \int_A^\pi I_m \sin x \, dx = \frac{I_m}{2\pi} (1 + \cos A) \dots\dots (2.25)$$

となる。

然るに、 A は前項でのべた通り R の関数なので、 R の変化に対する 直流平均電流への影響を総合して考えることができる。すなわち、直流平均電流の瞬間最大電流 I_m に対する割合を D とすると、(2.4) を (2.5) に入れることにより

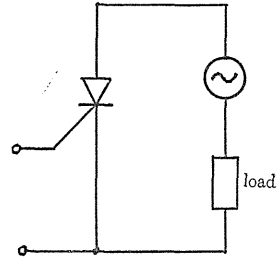


図 5

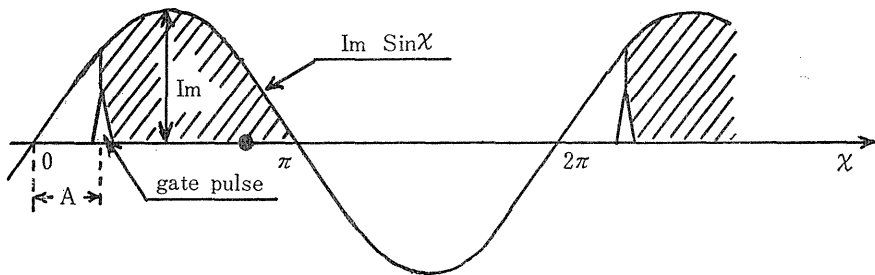


図 6

$$D = \frac{1}{2\pi} \left[1 + \frac{Z+2P+2R-\omega CR)^2(Z+2P)}{\sqrt{\{Z+2P+2R-(\omega CR)^2(Z+2P)\}^2 + \{2\omega CR(Z+2P+R)\}^2}} \right] \dots\dots (2.6)$$

ここで、 $f=50\text{Hz}$, $Z=1k\Omega$, $P=5k\Omega$ とすると

$$D = \frac{1}{2\pi} + \frac{11+2R-(\omega CR)^2 \times 11}{2\pi \sqrt{\{11+2R-(\omega CR)^2 \times 11\}^2 + \{\omega CR \times 2 \times (11+R)\}^2}}$$

$$Y = 5 \sqrt{\frac{1+(\omega CR)^2}{(11+2R)^2 + (\omega CR \times 11)^2}}$$

この Y は (2.3) のときと同意に用いてある。 D および Y を電子計算機にかけてとくと

きのプログラム (HARP 103) を掲げると

```

DIMENSION C(3), D(3), Y(3)
READ 1, C
DO 20 I=1, 10
R=I
W=0.314159
DO 19 J=1, 3
D(J)=(11.+2.*R-(W*C(J)*R)**2*11.)/(SQRTF(11.+2.*R-(W*C(J)
*R)**2*11.))**2+(W*C(J)*R**2.*(11.+R))**2)*6.28318)+1./6.28318
19 Y(J)=5.*SQRTF((1.+W*C(J)*R)**2)/((11.+2.*R)**2+(W*C(J)*
R*11.))**2))
20 PRINT 30, (D(J), y(J), J=1, 3)
30 FÖRMAT (3(F15.8, F15.8))
STÖP
END

```

0.5 1. 2.

この結果を D についてプロットすると図7のようになる。この図よりいえることは $R=0\sim 6k\Omega$, $C=2\mu F$ の場合が最も使いやすいこと。もし、可変抵抗器 R を対数型に選択できたなら総合特性にて直線状に近くできることである。

Y については、その細かいデータを省くが、変化範囲の上限と下限は、 C の $0.5\mu F$, $1\mu F$, $2\mu F$ の各々につきそれぞれ $0.26\sim 0.38$, $0.34\sim 0.38$, $0.39\sim 0.41$ となる。これにて、 C は大きいほど変化が少くなり、10%にその変動を抑えるためには $2\mu F$ 以上なることが必要となることがわかる。

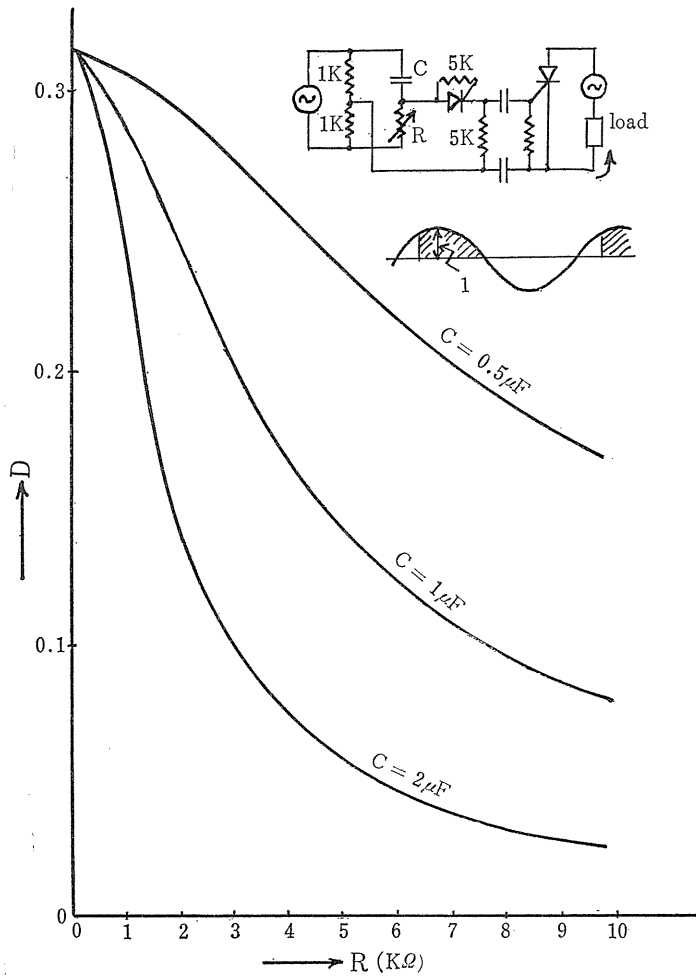


图 7